

# ДИНАМИКА ВИХРЕВОЙ СТРУКТУРЫ В МОНОКРИСТАЛЛАХ $\text{Bi}_2\text{Sr}_2\text{CaCu}_2\text{O}_y$

*В.Н. Заварицкий, Н.В. Заварицкий*

*Институт физических проблем им. П.Л. Капицы АН СССР  
117973, Москва*

*Институт общей физики АН СССР  
117942, Москва*

Поступила в редакцию 3 июня 1991 г.

Обнаружено качественное изменение динамики вихревой структуры в монокристаллах  $\text{Bi}_2\text{Sr}_2\text{CaCu}_2\text{O}_8$  при  $T \approx (17 \pm 1)$  К, которое проявляется в скачкообразном изменении на порядок нормированной скорости логарифмического крипа потока, резком изменении характера температурной зависимости остаточной намагниченности  $M_R(T)$  и изменении зависимости высоты барьера  $U$  от плотности незатухающих токов. Установлено, что  $U_0 \rightarrow \text{const}$  при  $T \rightarrow T_c$ .

Критическое состояние высокотемпературных сверхпроводников характеризуется слабым закреплением вихревой структуры. Это приводит к тому, что в этих веществах сильно развиты долговременные релаксационные процессы  $^{1-3}$ , величина критического тока невелика, сопротивление образцов вблизи  $T_c$  имеет термоактивационный характер  $^4$  и т. п. Эти эффекты определяются относительной высотой  $U_0/T$  потенциального барьера для крипа потока, величина которой в ВТСП ( $U/T \leq 10$ ) оказывается более чем на порядок меньше, чем в "традиционных" сверхпроводниках второго рода. Изучению этой проблемы посвящено значительное число экспериментальных  $^{1-4}$  и теоретических  $^{5-7}$  работ. С точки зрения эксперимента, предпочтительно исследование Bi- и Tl- представителей семейства ВТСП, поскольку в них отсутствуют границы двойникования, пиннинг на которых может существенно усложнить проблему. В настоящее время экспериментальные данные даже для монокристаллов  $\text{Bi}_2\text{Sr}_2\text{CaCu}_2\text{O}_8$  (Bi-2212) демонстрируют явное несоответствие. В частности, из резистивных  $^4$  и механических  $^8$  измерений при  $T \geq T_c/2$  получена оценка высоты потенциального барьера для движения вихрей  $U_0 > 1000$  К, в то время как существенно меньшие величины  $U_0 \simeq (80 \div 150)$  К определены из низкотемпературных исследований релаксации намагниченности  $^{1-3}$ . Этот дискрепанс тем более удивителен, что именно при низких температурах наблюдаются значительные плотности критического тока. Кроме того в экспериментальной проверке нуждались работы  $^{9-10}$ , предсказывавшие линейный спад  $U_0 \sim T_c - T$  вблизи  $T_c$ . Настоящая работа посвящена исследованию динамики вихревой структуры при  $H \parallel c$  в монокристаллах Bi-2212 в широком диапазоне температур от 4,2 К и вплоть до  $(T_c - T) < 1$  К.

Монокристаллы номинальной стехиометрии  $\text{Bi}_2\text{Sr}_2\text{CaCu}_2\text{O}_8$ , исследованные в настоящей работе, были выращены по методике  $^{11}$ , и имели  $T_c \simeq 95$  К при ширине перехода  $\Delta T \simeq 0.5 \div 1.5$  К, определенной по измерениям намагниченности в слабых полях  $\leq 0.1$  Э. Изучались характеристики остаточной намагниченности,  $M_R$ , которая возникала в монокристалле Bi-2212, предварительно охлажденном в нулевом поле ниже  $T_c$  ( $ZFC$ ), после прохождения по предельной (или частичной) петле гистерезиса. Также были изучены свойства остаточной намагниченности,  $M_{TR}$ , возникавшей в образце, охлажденном во внешнем поле ( $FC$ ), после выключения внешнего поля. Время измерения релаксации остаточной намагниченности составляло  $1 \div 15$  часов в зависимости от

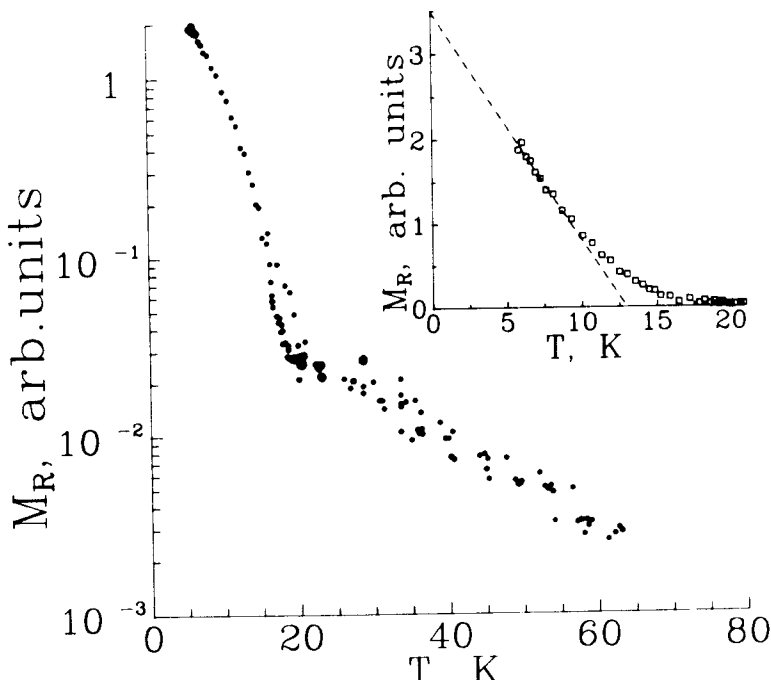


Рис. 1. Типичный температурный ход остаточной намагниченности  $M_R(T)$  монокристалла Bi-2212. На врезке - зависимость  $M_R(T)$ , аппроксимированная соотношением (2).

относительной величины эффекта, точность стабилизации температуры образца в ходе опыта составляла  $\simeq 50$  мК и  $\simeq 5$  мК при низких температурах и вблизи  $T_c$  соответственно. Измерения в диапазоне  $(4 \div 80)K$  производились в автоматизированном СКВИД-магнитометре конструкции А.А. Юргенса, для прецизионных измерений вблизи  $T_c$  использован ранее описанный <sup>12-13</sup> ВТСП-СКВИД-магнитометр.

Величина остаточной намагниченности  $M_R$ , полученной в предельном цикле петли гистерезиса, согласно модели Бина <sup>14</sup>, пропорциональна плотности критического тока  $j_c$  в образце. Нами обнаружено, что эта зависимость в монокристаллах Bi-2212 имеет аномальный характер (рис.1) и может быть аппроксимирована законом

$$M_R(T) \propto \exp(-T/T_0) \quad (1)$$

с  $T_0 \simeq 2 \div 3$  К при  $4K \leq T \leq 17$  К и  $T_0 \simeq (17 \div 18)$  К при более высоких температурах. Похожие зависимости наблюдались ранее <sup>15</sup> в керамике Bi-2223. Релаксация намагниченности исследованных монокристаллов во всем диапазоне температур (за исключением  $T \simeq 15 \div 18$  К) хорошо аппроксимируется законом  $M = M_0(1 - S\ln t)$  (рис.2), который традиционно интерпретируется в рамках модели термоактивированного крипа потока <sup>16</sup>. Согласно этим представлениям, релаксация намагниченности  $M(t)$  определяется некоторой характерной высотой  $U_0$  барьера для крипа вихревой структуры и характеризуется безразмерной скоростью релаксации  $S = T/U_0 = -(1/M_0)\partial M(t)/\partial \ln t$ . Резкое уменьшение тока при повышении температуры, наблюдаемое нами при  $T \ll T_c$ , может быть связано с обусловленным крипом потока уменьшением величины тока за характерное время измерения  $M_R(T)$  ( $t_1 \simeq 1$  мин). В рамках модели <sup>16</sup>, предполагая что  $j_c = \text{const}$ , получаем что

$$j/j_c = 1 - (T/U_0) \ln(t_1/\tau_0), \quad (2)$$

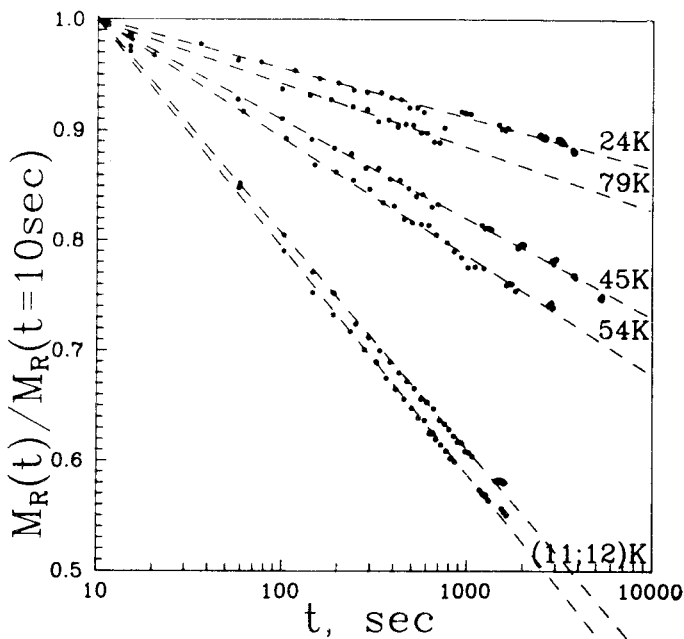


Рис. 2. Типичные характеристики изотермической релаксации нормированной намагниченности для Bi-2212. Пунктиры -- аппроксимации законом  $M_R(t)/M_R(t_0) = 1 - S \ln t$ .

т.е. следует ожидать линейное уменьшение "магнитного" критического тока с температурой. Низкотемпературная часть зависимостей  $M_R(T)$  допускает аппроксимацию законом (2), как показано на врезке к рис.1. Более строгое рассмотрение<sup>17</sup> показывает, что зависимости  $M_R(T)$  отражают главным образом температурную зависимость скорости логарифмического крипа  $S(T)$ . Значения скоростей  $S$ , определенные для семи исследованных кристаллов во всей области температур из аппроксимации релаксационных зависимостей предельного остаточного момента законом  $M_R(t) \sim \ln t$ , представлены на рис.3. Сопоставление данных о характере изменения с температурой плотности критического тока (рис.1) и нормированной скорости релаксации  $S$  (рис.3) указывает на смену динамики вихревой структуры при  $T = T_j \approx 17$  К, которая проявляется в скачкообразном изменении высоты барьера  $U_0 = T/S$ , приводящему к ослаблению зависимости критического тока от температуры. В предположении о двух сортах центров пиннинга, различающихся глубиной и концентрацией, уменьшение критического тока при возрастании температуры в области  $T < T_j$  обязано термоактивационному освобождению вихрей с мелких центров пиннинга, ответственных за величину тока при низких температурах. По мере роста температуры эффективность пиннинга на этих центрах падает в меру уменьшения отношения  $U_0/T$  от  $\approx 50$  при 4 К до  $\approx 5$  при  $T_j$ ; выше этой температуры мелкие центры уже не могут удержать вихрь и пиннинг определяется лишь глубокими центрами, - что приводит к смене зависимости  $j_c(T) \propto M_R(T)$  при  $T > T_j$ .

Для детального объяснения этого явления может быть привлечена модель<sup>16</sup>, модифицированная в<sup>17</sup> на случай двух типов центров пиннинга - с высокими барьерами  $U_m = U_1$  и с мелкими  $U_m = U_2$ . Скорость релаксации намагниченности, согласно<sup>17</sup>, описывается соотношением:

$$S = -\partial \ln M / \partial \ln t = \alpha^{-1} (T/U_m)^{1/\alpha} [\ln(t/\tau_0)]^{1/\alpha-1}, \quad (3)$$

где  $\alpha$  - показатель степени в зависимости высоты барьера от плотности тока

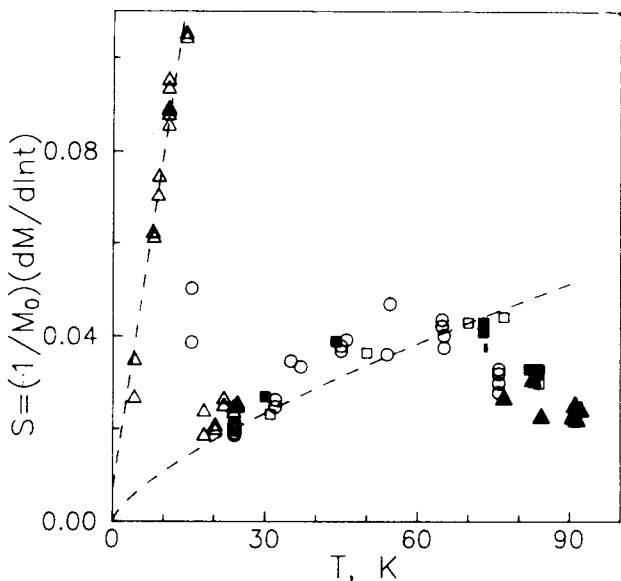


Рис. 3. Нормированные скорости релаксации остаточной намагниченности, определенные для семи исследованных кристаллов из экстраполяции экспериментальных релаксационных зависимостей законом  $M_R(t) \simeq M_0(1 - S\ln t)$ . Пунктир-аппроксимация экспериментальной зависимости  $S(T)$  законом (3) с  $\alpha \sim 1$  и  $\alpha \simeq 1,5$

$U \sim (j/j_c)^\alpha$ . При низких температурах  $T \ll U_2/\ln(t/\tau_0)$  и слабых токах  $j \ll j_c$ , соотношение (3) справедливо при  $U_m = U_2$ . При температуре  $T > U_2/\ln(t/\tau_0)$  мелкие центры пиннинга выключаются и снова можно пользоваться формулой (3), где вместо  $U_m$  нужно подставить  $U_1$ . В противоречии с ранее известными экспериментальными данными, модель<sup>17</sup> предсказывала резкий скачок  $S$  при температуре

$$T_j = U_2/\ln(t/\tau_0). \quad (4)$$

Скачок на температурной зависимости  $S(T)$  впервые, насколько нам известно, обнаружен в настоящей работе (рис.3).

Согласно (3) температурная зависимость  $S(T)$  чувствительна к параметру теории  $\alpha$ , который зависит от характера крипа и размерности задачи<sup>6,7</sup>. Так, в работе<sup>6</sup> для 3-D случая (в предположении малости характерной длины прыжка по сравнению со средним расстоянием между вихрями), предсказаны различные значения  $\alpha$  для случаев крипа одиночных вихрей и для коллективного крипа связок вихрей; величина  $\alpha$  зависит также и от относительного размера "связки" по сравнению с лондоновской глубиной проникновения. Аппроксимация экспериментальной зависимости  $S(T)$  законом (3) дает оценку величины  $\alpha \sim 1$  при  $T \leq T_j$ ; при высоких температурах  $T > T_j$  точность аппроксимации меньше, поэтому можно лишь дать нижнюю оценку  $\alpha \simeq 1,5$  (аппроксимации с указанными значениями  $\alpha$  представлены на рис.3 пунктиром).

С целью уточнения абсолютных величин  $\alpha$ , исследовались процессы изотермической релаксации остаточного момента из состояния вихревой системы, соответствующего исходному  $M_R$ , но релаксированному в течении произвольно большого времени. Использованный метод основан на использовании отличия состояния вихревой структуры в зависимости от метода создания остаточной намагниченности:  $M_R$  или  $M_{TR}$ . В первом случае перед выключением поля в образце создается критическое состояние и, хотя абсолютная величина  $M_R$  может иметь любое значение от нулевого до максимального (соответствующего выводу поля после создания развитого критического состояния),

скорость релаксации  $S$  в первом приближении определяется одним и тем же критическим током, независимо от степени приближенности гистерезисного цикла к предельному. При приготовлении термореманентного состояния  $M_{TR}$ , образец охлаждается и переводится в сверхпроводящее состояние в постоянном внешнем поле ( $H_{FC}$ ), создающем и поддерживающем в нем упорядоченную вихревую структуру, плотность которой определяется величиной поля. В этом случае состояние системы вихрей перед выключением поля отличается только плотностью от созданного в предельном гистерезисном цикле при данной температуре.

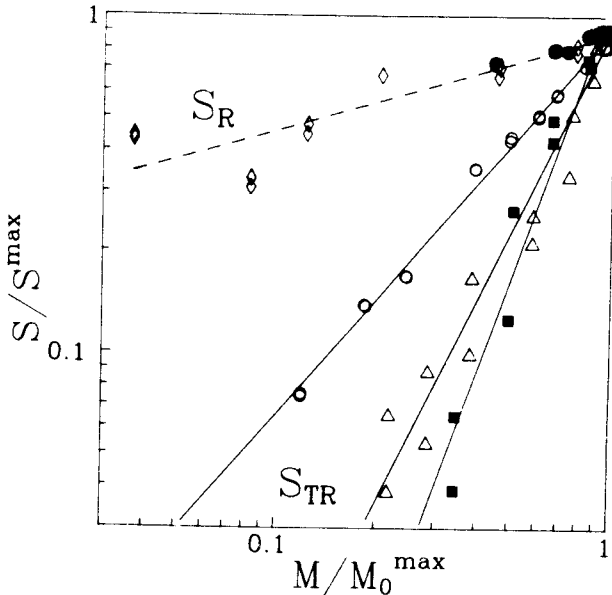


Рис. 4. Зависимости нормированной скорости релаксации  $S$  от приведенной намагнченности.  $\circ$ ,  $\square$  и  $\Delta$  - нормированные скорости  $S_{TR}$  для изотермической релаксации  $M_{TR}$  при  $T \approx 11$ , 30 и 78 К соответственно;  $\bullet$  и  $\diamond$  -  $S_R$ , - определены из  $M_R$ -релаксации при  $T \approx 11$  К и 30 К соответственно. Показаны аппроксимации экспериментальных данных законом  $S \propto (M_{TR}^{max}/M_{TR})^{-\alpha}$ , сплошными линиями показаны аппроксимации  $S_{TR}$  с  $\alpha = 1,05$ ; 2,8 и 2 для  $T \approx 14$ ; 30 и 78 К соответственно; пунктир ( $\alpha \approx 0,2$ ) иллюстрирует существенно более слабую зависимость  $S_R(M_R)$ .

В то время как зависимости  $M_R(T)$  остаточной намагнченности, полученные в результате прохождения по неполной петле описываются единым законом, температурные зависимости  $M_{TR}(T)$  определяются относительной величиной  $H_{FC}$ . Зависимость  $M_{TR}(T)$ , полученная после охлаждения образца в большом поле  $H_{FC} > H_{c1}$ , совпадала с  $M_R(T)$ , полученной в предельном гистерезисном цикле. При меньших плотностях исходной вихревой структуры характер изменения  $M_{TR}(T)$  оказался подобен кривым  $M_R(T)$ , полученным после длительной изотермической релаксации.

Независимо от метода приготовления исходного состояния ( $M_R$  и/или  $M_{TR}$ ), релаксация намагнченности хорошо описывается логарифмическим законом. Обнаружена сильная зависимость скорости  $S$ , определенной из кривых изотермической релаксации  $M_{TR} \approx j$ , которая аппроксимируется законом:

$$S_{TR} \sim (M_{TR}/M_{TR}^{max})^\alpha \quad (5)$$

величина показателя степени  $\alpha = 1,0 \pm 0,1$  при  $T \approx 14$  К и достигает  $\alpha = 1,8 \pm 0,2$  и  $2,8 \pm 0,2$  при  $T \approx 78$  и  $\approx 30$  К соответственно в то время как  $S_R$  - скорости релаксации  $M_R$ , в нулевом приближении не изменяются при изменении абсолютной величины  $M_R$  более чем на порядок (пунктир на рис.4).

Отметим удовлетворительное согласие между оценками величины показателя  $\alpha$ , полученными двумя независимыми методами.

При определении величины  $S$  по соотношению (2) мы использовали в качестве  $M_0$  значение  $M_R(t_0 = 10$  сек); учет отличия  $t_0$  от  $\tau_0$  приводит к следующему соотношению между измеренной ( $S$ ) и истинной ( $S_G$ ) скоростями релаксации:

$$S_G \simeq S/[1 + S \ln(t_0/\tau_0)]. \quad (6)$$

Как следует из (6), традиционное  $^{1-3}$  отождествление первой измеренной точки с  $M_0$  может привести не только к переоценке абсолютной величины  $S$ , но и к искажению ее температурной зависимости. Согласно оценкам <sup>18</sup>  $\tau_0 \sim 10^{-2} \div 10^{-12}$  сек, однако имеются указания <sup>19</sup> на то, что этот параметр может иметь существенно большую величину. Из сопоставления коэффициентов линейной экстраполяции зависимости  $j(T)$  (врезка к рис.1) и результата подстановки экспериментальных данных  $S(T)$  (модифицированных по соотношению (6)) в (2), получена оценка  $\tau_0 \sim 1 \div 7$  сек в области  $T \leq T_j$ . Поскольку  $\tau_0 \sim t_0$ , тем самым коррекция (6) оказывается пренебрежимо малой по сравнению с разбросом экспериментальных точек, и ее вкладом (по крайней мере при низких температурах) можно пренебречь. Отметим, что наши экспериментальные результаты допускают независимую оценку величины  $\tau_0$  по соотношению (4), которая подтверждает приведенную выше.

Из вышеизложенного следует, что вся совокупность полученных экспериментальных данных удовлетворительно описывается в рамках моделей термоактивированного крипа потока <sup>16</sup> и теории коллективного крипа <sup>6</sup> и <sup>17</sup>. В то же время нельзя исключить ряд других моделей, приводящих к сходным результатам:

- a)- предполагая, что кристалл Bi-2212 состоит из тонких сверхпроводящих слоев, разделенных несверхпроводящими прослойками, можно допустить, что рост  $H_{c1}$  и критического тока при понижении температуры ниже  $T_j$  связан с наведением из-за эффекта близости сверхпроводимости в этих прослойках (модель, использована в частности в работе <sup>20</sup> для объяснения роста  $H_{c1}$  в 123-YBCO при низких температурах); тем самым  $T_j$  разделяет области вихрей, различающихся по структуре. В то время как при  $T > T_j$  вихрь состоит из системы "блинов" (pancakes) <sup>21</sup> (характеризующихся кором  $\sim \xi$ ), соединенных кусками бескоровых джозефсоновских вихрей в нормальных прослойках, при  $T < T_j$  структура вихря близка к традиционной картине вихревой трубы. В рамках этих представлений скачкообразный рост  $U_0 = T/S$  при  $T = T_j$  связан с изменением структуры вихрей и обязан тому обстоятельству, что "бликообразные" вихри пиннингуются главным образом за счет "кинков" вихревых линий, характеризующимися несопоставимо большими величинами  $U_0$  <sup>22</sup>.
- б)- нельзя априори исключить возможности плавления вихревой решетки с переходом в стеклообразное состояние при  $T = T_j$ , приводящему к резкому росту  $U_0$ .

Нами экспериментально установлено, что релаксация остаточной намагниченности в кристаллах Bi-2212 описывается логарифмическим законом  $M_R \simeq M_0[1 - (T/U) \ln t]$  во всей области температур от 4,2 К и вплоть до критической температуры  $(T_c - T) \simeq 1$  К, а эффективная высота барьера для крипа потока степенным образом зависит от плотности тока,  $U \sim U_0(j_c/j)^{\alpha}$ .

Впервые экспериментально установлено, что  $U \rightarrow \text{const}$  при  $T \rightarrow T_c$ , и обнаружен скачок на зависимости  $S(T)$ , предсказанный в <sup>17</sup>. Отклонения начального участка ( $t < 1000$  сек) кривой релаксации намагниченности от логарифмического закона наблюдались лишь в узкой ( $\approx 3$  К) окрестности  $T_c$ , однако при больших временах кривые допускали логарифмическую аппроксимацию. Полученные результаты указывают на особую роль температуры  $T_c$  для динамики вихревой структуры в кристаллах Bi-2212: она разделяет области, характеризующиеся различным характером изменения плотности критического тока с температурой и различиями в механизмах пиннинга вихрей и/или структуры вихрей, проявляющимися в различиях в величинах  $U_0$  и показателей степени  $\alpha$ . Слабый рост эффективной высоты барьера при повышении температуры вплоть до  $T_c$  может быть связан с приближенностью использованной простейшей модели. Действительно, более строгий анализ <sup>19</sup> предсказывает линейный рост с температурой величины  $T/S \sim U + T \ln(t/\tau_0)$ .

Хотя отсутствие детальных теоретических расчетов динамики вихрей в режиме релаксации остаточной намагниченности не позволяет сделать однозначный выбор между различными моделями, наиболее правдоподобными на наш взгляд являются <sup>16,17</sup> и описанная в пункте а), а также вполне вероятная их интерференция.

Авторы считают приятным долгом выразить свою глубокую признательность Ларкину А.И. и Фейгельману М.В. за многочисленные полезные дискуссии и Юргенсу А.А., за любезно предоставленный автоматизированный СКВИД-магнитометр и ценные консультации.

## Литература

1. Yeshurun Y., Malozemoff A.P., Worthington T.K., et al. Cryogenics, 1989, **29**, 258.
2. Biggs B.D., Kumar M.N., Lin J.J. et al. Phys. Rev. B, 1989, **39**, 7309.
3. Shi D., Xu M., Umezawa A., Fox R.F. Phys. Rev. B 1990, **42**, 2062.
4. Palstra T.T.M., Batlogg B., Scheneermeyer L.F., Waszczak J.W. Phys. Rev. Lett. 1988, **61**, 1662.
5. Geshkenbein V.B., Larkin A.I., Feigel'man M.V., Vinokur V.M., Physica C, 1989, **162-164**, 239.
6. Geshkenbein V.B., Larkin A.I., Feigel'man M.V., Vinokur V.M., Phys. Rev. Lett. 1989, **63**, 2303.
7. Griesen R, Physica C, 1991, **172**, 441.
8. Gupta A., Esquinazi P., Braun H.F., Physica C, 1990, **170**, 95.
9. Chakravarty S., Ivlev B.I., Ovchinnikov Y.N., Phys. Rev. Lett. 1990, **64**, 3187.
10. Vinokur V.M., Feigel'man M.V., Geshkenbein V.B., Larkin A.I., Phys. Rev. Lett. 1990, **65**, 259.
11. Zavaritsky N.V., Samoilov A.V., Yurgens A.A. Physica C, 1990, **169**, 174.
12. Zavaritsky N.V., Zavaritsky V.N., "High- $T_c$  Ceramic Weak Links, rf-SQUID, and Their Applications", in High Temperature Superconductivity from Russia (ed. A.I. Larkin and N.V. Zavaritsky, Singapore - New Jersey - London - Hong Kong: World Scientific, 1989) 281-299.
13. Zavaritsky V.N., Zavaritsky N.V., Physica C 1990, **165-166**, 1447.
14. Bean C.P. Rev. Mod. Phys., 1964, **36**, 31.
15. Job R., Rosenberg M. Physica C, 1991, **172**, 391.
16. Anderson P.W. Phys Rev. Lett., 1962, **9**, 309.
17. Гешкенбейн В.Б., Ларкин А.И., ЖЭТФ, 1989, **95**, 1108.
18. Beasley M.R., Labush R., Webb W.W., Phys. Rev. 1969, **181**, 682.
19. Feigel'man M.V., Geshkenbein V. B., Vinokur V.M. Phys. Rev. B, 1991, **43**, in press.
20. Koyama T., Takezawa N., Tachiki M. Physica C 1990, **168**, 69.
21. Feinberg D., Villard C. Phys. Rev. Lett., 1990, **65**, 919.
22. Ivlev B.I., Ovchinnikov Yu.N., Pokrovsky V.L., Mod. Phys. Lett., 1991, **5**, 73.